

ИОНИЗАЦИОННАЯ РЕАКЦИЯ $p-n$ -СТРУКТУР ИМС ПРИ БОЛЬШИХ ИНТЕНСИВНОСТЯХ ИОНИЗИРУЮЩЕГО ИЗЛУЧЕНИЯ

Андреев С. П., Аствацатуровян Е. Р., Головин А. В.,
Кудряшов Н. А., Кучеренко С. С., Полунин В. А.,
Чичерюкин А. В.

Проведено аналитическое и численное изучение ионизационной реакции $p-n$ -структур ИМС, облучаемых как слабым, так и мощным ионизирующим излучением (ИИ). Найден количественный критерий (в виде отношения концентрации генерированных ИИ неосновных носителей заряда к уровню легирования) области применимости теории ИИ слабых интенсивностей. Рассчитаны ВАХ полупроводниковой структуры, облучаемой мощным ИИ, и обнаружен эффект восстановления $p-n$ -перехода при включении определенного отрицательного напряжения смещения.

Разработка ИМС специализированного назначения требует решения проблемы их радиационной стойкости (РС) в отношении воздействия внешних ионизирующих излучений (ИИ). В условиях такого воздействия ионизационная реакция (ИР) $p-n$ -структур ИМС элементов РЭА определяется механизмом генерации неосновных носителей заряда (ННЗ), обусловливающих возникновение значительных ионизационных токов в $p-n$ -структурках ИМС [1]. При воздействии ИИ слабых интенсивностей $G \ll G_{kp}$, когда генерируемые концентрации ННЗ Δp дырок и Δn электронов существенно меньше уровней легирования доноров N_d и (или) акцепторов N_a , $\Delta p, \Delta n \ll N_d, N_a$, изменения структуры $p-n$ -перехода не происходит и ионизационный фототок I_ϕ линейно зависит от G [2]. Для мощных ИИ $G \gg G_{kp}$, когда реализуется противоположный случай $\Delta p, \Delta n \gg N_d, N_a$, исследования механизма формирования ИР не проводилось, поскольку в такой ситуации происходит изменение структуры $p-n$ -перехода и необходимо нахождение самосогласованного решения системы уравнений переноса и уравнения Пуассона.

В работе проведены аналитическое и численное исследования ионизационной реакции $p-n$ -структуры для ИИ произвольной интенсивности. Найден количественный критерий области применимости теории ИИ слабых интенсивностей [1]. Впервые рассчитаны ВАХ полупроводниковой структуры, облучаемой мощным ИИ, и обнаружен эффект восстановления $p-n$ -перехода при включении определенного напряжения смещения, что должно приводить к существенному изменению критериев РС аппаратуры, подвергающейся внешнему воздействию.

Система уравнений, определяющая ИР структуры, имеет вид [3]

$$\frac{\partial n}{\partial t} - \frac{1}{e} \nabla j_n = R - Gg; \quad j_n = eD_n \left(\nabla n + \frac{\epsilon(x)}{\varphi_t} n(x) \right), \quad (1)$$

$$\frac{\partial p}{\partial t} + \frac{1}{e} \nabla j_p = R - Gg; \quad j_p = eD_p \left(-\nabla p + \frac{\epsilon(x)}{\varphi_t} p(x) \right), \quad (2)$$

$$\frac{\partial \epsilon}{\partial x} = \frac{e}{4\pi\epsilon_0\epsilon} (p - n + N_d - N_a), \quad e > 0, \quad (3)$$

$$R(n, p) = R_{SR}(n, p) + (pn - n_i^2)(C_p p + C_n n), \quad (4)$$

где первый член в интенсивности рекомбинации R определяет рекомбинацию по Шокли—Риду [4], а второй отвечает оже-процессам [5].

Для численного моделирования ИР была выбрана $p-n$ -структурра, образованная двумя одномерными p - и n -областями, ограниченными металлическими контактами, ВАХ которых задавались условиями Шоттки [6-8]

$$j_n^s = \pm ev_n(n_0 - n_s); \quad j_p^s = \pm ev_p(p_s - p_0), \quad (5)$$

здесь j_n^s, j_p^s — потоки электронов, дырок через контакты; v_n, v_p — скорости поверхности рекомбинации электронов, дырок; n_s, p_s — концентрации электронов, дырок на контакте; p_0, n_0 — значения концентраций в равновесных условиях при $G=0$.

Моделирование ИР проведено в допущении равенств концентраций $N_d=N_a$, длин областей $w_n=w_p$ и времен жизни $\tau_n=\tau_p$, что обусловлено только стремле-

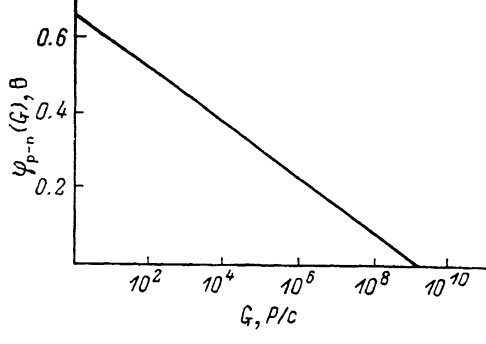


Рис. 1. Изменение контактной разности потенциала φ_{p-n} на $p-n$ -переходе с ростом интенсивности G внешнего излучения.

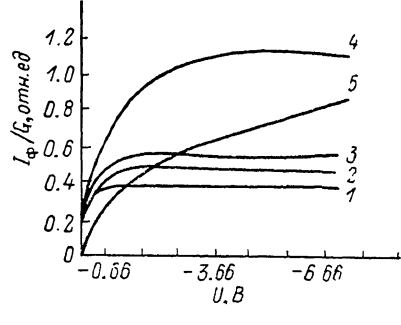


Рис. 2. Рассчитанные ВАХ $p-n$ -структур для различных значений интенсивности G , Р/с.

1 — 10^8 , 2 — $5 \cdot 10^8$, 3 — 10^9 , 4 — 10^{10} , 5 — 10^{11} .

нием максимально ограничить набор характеристик структуры, определяющих ИР, и изучить ее зависимость лишь от двух основных внешних параметров: интенсивности ИИ и приложенного напряжения.¹ Для того чтобы падение напряжения происходило подавляющим образом на объеме структуры, были смоделированы «идеальные» проводящие контакты, для которых встроенный потенциал ψ_s равнялся нулю и уравнение цепи сводилось к учету падения напряжения на объеме p -, n -областей и $p-n$ -перехода. Исследование ИР $p-n$ -структурь проведем при постоянной интенсивности ИИ в рамках квазистационарного режима воздействия,² поскольку именно в таком случае минимальной интенсивности ИИ отвечает максимальное значение фототока в структуре.

На рис. 1 показано изменение контактной разности потенциала φ_{p-n} $p-n$ -структурь при увеличении интенсивности G от 0 до 10^{11} Р/с. Из полученной зависимости видно, что падение величины φ_{p-n} с ростом G до значения $5 \cdot 10^8$ Р/с носит экспоненциальный характер. Величина φ_{p-n} затем переходит в плавное, близкое к линейному уменьшение до нуля при интенсивности $G=5 \cdot 10^9$ Р/с. Такая смена режима связана с тем, что при $G \geq G_{kp}=5 \cdot 10^8$ Р/с концентрации генерированных ННЗ $\Delta p, \Delta n \geq 0.3 N_{d,a}$ становятся сопоставимыми с концентрацией основных $n^a, p^a \approx 1.3 N_{d,a}$, что приводит к исчезновению $p-n$ -перехода в интервале интенсивностей $G \in (5 \cdot 10^8 - 10^9)$ Р/с. Таким образом, теория ИИ слабых интенсивностей [1] корректна, пока концентрация генерированных ННЗ в $\sim 2-4$ раза меньше уровня легирования. Данный факт является закономерным, поскольку именно при таких условиях на $p-n$ -переходе еще существует разность потенциалов φ_{p-n} , примерно равная величине теплового потенциала φ_t (при комнатной температуре $\varphi_t=0.0259$ В).

¹ Все графики получены при концентрации $N_{d,a}=10^{16}$ см⁻³, длинах областей $w_n, w_p=50$ мкм, временах жизни $\tau_n, \tau_p=10^{-7}$ с.

² Этому соответствует функция генерации $Gg\eta(t)$, где $\eta(t)$ — функция Хевисайда.

На рис. 2 представлены ВАХ изучаемой структуры при $G=10^8$, $5 \cdot 10^8$, 10^9 , 10^{10} , 10^{11} Р/с для интервала напряжений $U=(0 \dots -6)$ В. Из приведенных зависимостей видно, что во всей области $G \in 5 \cdot 10^8 \dots 10^{11}$ Р/с (т. е. когда уже исчезновение $p-n$ -перехода при $G=5 \cdot 10^8$ Р/с произошло и интенсивность ИИ возросла в 200 раз) амплитуда фототока все еще находится в том же интервале значений $I_\phi = -eGg\lambda$, что и при слабых ИИ (здесь g — скорость генерации носителей, λ — длина соприкосновения [2]).

Для объяснения найденных ВАХ $p-n$ -структур рассмотрим распределение носителей $n(x)$, $p(x)$ (рис. 3) и потенциала $\varphi(x)$ (рис. 4) при уровне гене-

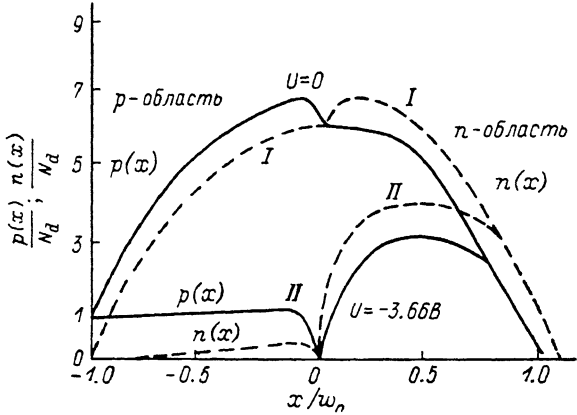


Рис. 3. Распределение концентраций электронов $n(x)$ и дырок $p(x)$ по структуре, облучаемой мощным излучением.

$G=10^{10}$ Р/с при различных значениях внешнего напряжения.

рации $G=10^{10}$ Р/с и внешних напряжениях $U=0$ и -3.66 В. Из сопоставления распределений I и II на рис. 3 следует, что включение отрицательного смещения $U < 0$ приводит к кардинальному изменению распределений $n(x)$ и $p(x)$. Это выражается в том, что при $U=-3.66$ В на общей границе p - и n -областей происходит существенное обеднение носителями объема, что приводит к восстановлению $p-n$ -перехода, и при дальнейшем увеличении напряжения всего приращение полностью падает на данной обедненной области (рис. 4). Отметим парадоксальность ситуации: при отсутствии внешнего напряжения смещения ($U=0$) структура ста-

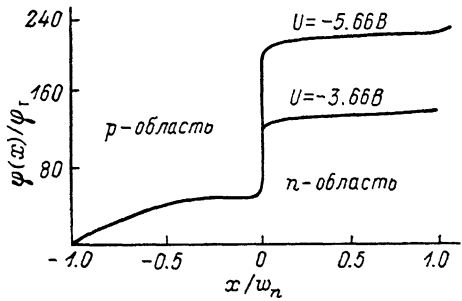


Рис. 4. Распределение потенциала $\varphi(x)$ по структуре, облучаемой мощным излучением $G=10^{10}$ Р/с при разных значениях внешнего напряжения.

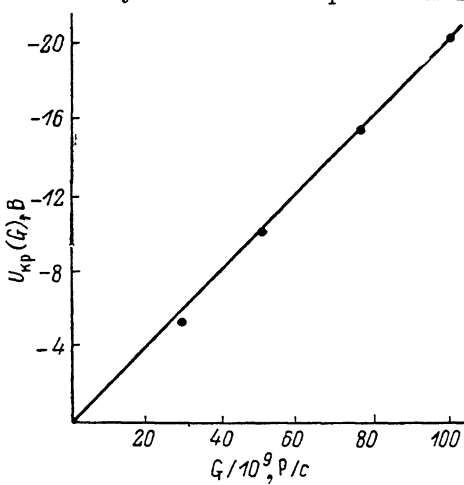


Рис. 5. Теоретические и численные (точки) результаты расчетов зависимости критического напряжения $U_{\varphi p}$ от интенсивности внешнего излучения G .

новится практически полностью однородной, и только включение внешнего напряжения $U < 0$ приводит к восстановлению $p-n$ -перехода.

Физическая причина обнаруженного эффекта восстановления $p-n$ -перехода заключается в следующем. При $U=0$ в объеме структуры происходит образование распределений $n(x)$, $p(x)$, имеющих колоколообразную форму, обусловленную тем, что на границе металл—полупроводник имеются рекомбинационные контакты, на которых скорости рекомбинации v_n и v_p (определенные постоянными Ричардсона) столь велики, что даже при интенсивности $G=10^{10}$ Р/с изменение концентраций n_s и p_s на границе составляет всего несколько процентов. Так, $n_s^n=1.03 N_d$, а $p_s^p=1.07 N_a$. Наличие подобных, фак-

тически фиксированных значений n_s^n и p_s^p , много меньших концентраций n_0^n и p_0^p (в объеме определяемых интенсивностью G), и приводит к колоколообразному распределению носителей при $U=0$. При этом для встроенного потенциала $\psi=0$ параметры системы (5) удовлетворяют соотношению $n_0^n, p_0^p \ll N_d, n$ и граничные условия можно преобразовать к виду $j_n = ev_n n_s \geq 0, j_p = ev_p \times (p_0 - p_s)$ в p -области и $j_p = ev_p p_s \geq 0, j_n = ev_n (n_0 - n_s)$ в n -области. Отличительной особенностью этих граничных условий является неотрицательность тока неосновных носителей. При включении отрицательного напряжения $U < 0$ в системе течет полный ток $I_\phi < 0$. При этом требование минимальности нарушения условия квазинейтральности: $\min \Delta = p - n + N_d - N_a$ (в силу кулоновского взаимодействия дырок и электронов) при достаточно больших напряжениях $|U| > |U_{kp}|$ (величина U_{kp} определяется далее) приводит к занулению на границе тока неосновных носителей, а следовательно, и концентраций. Так, для $G = 10^{10}$ Р/с при $U = -3.66$ В j_n составляет $7 \cdot 10^{-3}$ от полного тока, а j_p равен $3 \cdot 10^{-4} I_\phi$, при этом концентрации ННЗ соответственно равны $n_s^n \approx 2 \times 10^{-3} N_a$, а $p_s^p \approx 7 \cdot 10^{-2} N_d$. Таким образом, при достаточно большом отрицательном смещении на контактах происходит зануление и тока, и концентраций неосновных носителей.

Данное зануление концентраций на контактах приводит к существенному падению уровня концентраций и в объеме, что осуществляется за счет интенсивного полевого выноса носителей на контакты внешним напряжением $U < 0$. Рассчитаем величину критического напряжения U_{kp} , при котором падение концентраций n_s^n и p_s^p достигает уровня, отвечающего восстановлению $p-n$ -перехода. При этом будем учитывать падение напряжения только в p -области, поскольку сопоставление напряжений [полученных в результате точного численного расчета системы (1)–(5)], падающих на p - и n -областях, свидетельствует о почти десятикратном превышении проводимости n -области по сравнению с p -областью. При включении напряжения U_{kp} происходит обращение в нуль концентрации n_s^n и формирование определенного (пока неизвестного) значения n_{p-n}^v на границе $p-n$ -перехода. Концентрацию электронов в p -области зададим линейной зависимостью: $n(x) = n_{p-n}^v / w_p$ (рис. 3) и рассчитаем на основе соотношения (1) компоненту тока j_n . Поскольку в объеме p -области концентрация $n(x) \ll n_0^n$ мала, процесс генерации носителей преобладает над рекомбинацией $G \gg R$ и из (1) имеем $j_n \approx -eGg_x$. Тогда, пренебрегая диффузионной компонентой в j_n и воспользовавшись соотношением $v(x) \approx n(x) = -Gg_x$, получаем следующую формулу для величины критического напряжения:

$$U_{kp} = -\varphi_t \left(\frac{w_p}{L_n} \right)^2 \left(\frac{Gg_x}{n_{p-n}^v} - 0.5 \right) \quad (6)$$

(здесь L_n — диффузионная длина). Сопоставление теоретической зависимости (6) с результатами численных расчетов U_{kp} (рис. 5) позволило установить, что параметр n_{p-n}^v отвечает концентрации Δn , при которой начинается исчезновение $p-n$ -перехода при $U=0$. В таком случае U_{kp} удобно представить в виде

$$U_{kp} = -\frac{\varphi_t}{2} \left(\frac{w_p}{L_n} \right)^2 \left(\frac{G}{G_{kp}} - 1 \right). \quad (7)$$

На рис. 5 показан график, свидетельствующий о хорошем согласии численных значений U_{kp} с зависимостью (7). Таким образом, последовательное увеличение напряжения от 0 до U_{kp} приводит к значительному росту скорости полевого выноса носителей из структуры, что обусловливает существенное понижение концентраций носителей в объеме и восстановление $p-n$ -перехода.

В n -области структуры скорость генерации носителей также превышает интенсивность их рекомбинации $Gg \gg R$. Используя для плотности тока дырок соотношение $j_p \approx -eGg_x$, получаем следующее выражение для плотности ионизационного фототока I_ϕ при $|U| > |U_{kp}|$ в области ИИ больших интенсивностей $G \gg G_{kp}$:

$$I_{\phi} = -Gge(w_n + w_p). \quad (8)$$

Однако условие $Gg \gg R$ (рис. 3) в n -области выполняется с гораздо меньшей точностью, чем в p -области, поэтому при некоторых интенсивностях имело место рассогласование (достигающее 15 %) теоретических и численных значений I_{ϕ} . Необходимо отметить, что в силу преобладания полевого дрейфа носителей над процессом объемной рекомбинации [$j_n \gg R w_{n,p}$ или $U_{kp}/\varphi_t \gg (w_n/L_n)^2$] значения тока насыщения (8) и критического напряжения (9) будут мало чувствительны к типу процессов, определяющих интенсивность объемной рекомбинации.

Таким образом, в работе проведены аналитическое и численное исследования ионизационной реакции полупроводниковой структуры для ИИ произвольной интенсивности. Найден количественный критерий области применимости теории ИИ слабой интенсивности [1]. Рассчитаны ВАХ полупроводниковой структуры при ее облучении мощным ИИ и обнаружен эффект восстановления $p-n$ -перехода для внешних отрицательных напряжений, превышающих некоторое критическое значение U_{kp} . Получена теоретическая зависимость критического напряжения U_{kp} от интенсивности внешнего излучения G , которая полностью согласуется с результатами численного моделирования. Получено аналитическое выражение величины предельного фототока I_{ϕ} , корректное в интервале напряжений $|U| > |U_{kp}|$ при произвольной интенсивности внешнего ионизирующего излучения.

Авторы благодарят рецензента за указанные неточности и замечания, учтенные в работе.

Список литературы

- [1] Агаханян Т. М., Аствацатурьян Е. Р., Скоробогатов П. К. Радиационные эффекты в интегральных микросхемах. М., 1989. 256 с.
- [2] Скоробогатов П. К. // Ядерная электроника. 1979. В. 10. С. 80–87.
- [3] Зи С. Физика полупроводниковых приборов. М., 1984. 455 с.
- [4] Schocley W., Read W. // Phys. Rev. 1952. V. 87. P. 835–840.
- [5] Chandlin S. K. Semicond. Power Devices. N. Y., 1977.
- [6] Schottky W. Halbeithertheorie der Sperrschiicht. Natur Wissenschaften. 1938. V. 26. 843 p.
- [7] Keating P. N. // J. Appl. Phys. 1965. V. 36. N 2. P. 564–570.
- [8] Crowell C. R. // Sol. St. Electron. 1965. V. 8. P. 935–939.

Московский
инженерно-физический институт

Получена 13.03.1990
Принята к печати 11.09.1990